

تخمین برخط مقاوم اغتشاشات مداری با استفاده از تئوری مدلغزشی مرتبه ۲ برای یک ماهاواره

جعفر روشنی‌یان^۱، عبدالمجید خوشنود^۲، مهدی حسنی^۳، احسان حسنی^۴

۱ استاد، دانشکده مهندسی هوافضا، دانشگاه صنعتی خواجه نصیرالدین طوسی، تهران

۲ استادیار، دانشکده مهندسی هوافضا، دانشگاه صنعتی خواجه نصیرالدین طوسی، تهران khoshnood@kntu.ac.ir

۳ دانشجوی دکترا، دانشکده مهندسی هوافضا، دانشگاه صنعتی خواجه نصیرالدین طوسی، تهران

۴ دانشجوی کارشناسی ارشد، دانشکده مهندسی هوافضا، دانشگاه صنعتی خواجه نصیرالدین طوسی، تهران

تاریخ دریافت: ۱۳۹۴/۰۸/۱۵

تاریخ پذیرش: ۱۳۹۴/۱۱/۱۵

چکیده

استفاده از اغتشاشات مداری در طراحی سیستم‌های کنترلی سامانه‌های فضایی، تاکنون توسط محققان بسیاری بررسی شده است. از جمله روش‌های کارآمد برای تخمین اغتشاشات مداری استفاده از دینامیک معکوس است که در آن با استفاده از معادلات دینامیکی و جایگزینی مقادیر اندازه‌گیری با متغیرهای معادلات دینامیکی، گشتاورهای اغتشاشی تخمین زده می‌شوند. چالش اصلی در استفاده از روش دینامیک معکوس^۱، محاسبه مقادیر مشتق متغیرهای وضعیت ماهاواره در حالت اندازه‌گیری‌های نوفه‌دار است که سبب افزایش تأثیر نوفه بر کیفیت تخمین می‌شود. فرضیات در نظر گرفته شده برای برطرف ساختن این چالش، در روش‌های ارائه شده پیشین سبب کاهش دقت تخمین شده است. در این مقاله از الگوریتم مدلغزشی مرتبه دوم^۲ برای محاسبه مشتق خروجی‌های نوفه‌دار استفاده می‌گردد. طراحی مشتق گیر ارائه شده به‌گونه‌ای انجام می‌پذیرد که با قرار گرفتن بردار خطای اندازه‌گیری روی صفحه لغزش و مستقل شدن از نوفه اندازه‌گیری، مشتق گیری در محیطی مستقل از نوفه انجام می‌پذیرد. با بررسی نتایج شبیه‌سازی تخمین اغتشاشات مداری، عملکرد مناسب این روش برای تخمین گشتاورهای اغتشاشی در مدار نسبت به روش‌های دیگر تأیید می‌گردد.

واژگان کلیدی

ماهاواره، اغتشاشات مداری، تئوری مدلغزشی، دینامیک معکوس

۱. مقدمه

آثار آن بر عملکرد و عمر مداری ماهاواره است. یکی از زیرسامانه‌های اصلی ماهاواره، که وظیفه مقابله با گشتاورهای

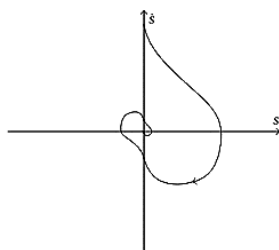
از جمله مسائل اساسی در طراحی و ساخت انواع زیرسامانه‌های ماهاواره، مطالعه و بررسی انواع گشتاورهای اغتشاشی در مدار و

روش‌های ارائه شده در حوزه مشاهده‌گرها، به علت استفاده از فرضیات ساده‌شونده با کاهش دقت تخمین مواجهند [۷]. از جمله روش‌هایی که به طور مستقیم و با استفاده از معادلات دینامیکی اقدام به تخمین گشتاورهای اغتشاشی می‌نماید، تخمین متابع اقدام به تخمین گشتاورهای اغتشاشی می‌نماید، تخمین متابع از روش تحلیل دینامیک معکوس است [۹]. در تئوری تخمین با استفاده از دینامیک معکوس، با فرض تغییرات آهسته اغتشاشات، مقادیر تخمینی به صورت مجموع متغیرهای غیرقابل اندازه‌گیری و یکتابع غیرخطی بیان می‌گردد. در این روش، مشتق‌گیری از داده‌های اندازه‌گیری سبب تشدید نوافه اندازه‌گیری می‌گردد. به منظور برطرف ساختن چالش مشتق‌گیری از داده‌های اندازه‌گیری در حضور نوافه، مشاهده‌گر NDO^۳ پیشنهاد گردید [۱۴]. در این مشاهده‌گر با استفاده از یک متغیر کمکی و بازنویسی معادلات دینامیکی ماهواره، بهره مشاهده‌گر NDO به نحوی انتخاب می‌شود که باعث حذف پارامتر مشتق از معادلات دینامیک معکوس گردد [۱۰]. محدودنمودن انتخاب بهره مشاهده‌گر برای حذف پارامتر مشتق، باعث می‌شود تا نتوان برای افزایش کیفیت تخمین، بهره مشاهده‌گر را تنظیم نمود [۵]. در این مقاله از تئوری مشتق‌گیری مقاوم با استفاده از الگوریتم مدل‌غذشی مرتبه دوم استفاده می‌شود. ویژگی‌های متمایز مدل‌غذشی مرتبه دوم در مستقل شدن فرایند مشتق‌گیری از انواع نووهای اندازه‌گیری و همچنین حذف پدیده چترینگ از فرایند مشتق‌گیری، باعث بهبود دقت مشتق‌گیری و در نتیجه افزایش دقت تخمین در روش دینامیک معکوس می‌گردد [۱۱]. یکی از انواع روش‌های مدل‌غذشی مرتبه دوم، که در این مقاله مورد استفاده قرار گرفته است، تئوری مدل‌غذشی مرتبه دوم با استفاده از الگوریتم فرایپیچش^۴ است. مزیت اصلی استفاده از این الگوریتم نسبت به دیگر الگوریتم‌های معرفی شده، سادگی پیاده‌سازی و همچنین دقت تخمین مناسب این الگوریتم است [۱۲]. در این الگوریتم، خطای تخمین و همچنین مشتق خطای تخمین به عنوان صفحه لغزش در نظر گرفته می‌شود. سپس با قرارگرفتن دینامیک سیستم روی صفحه لغزش، خطای تخمین مشتق‌گیر به صورتی حذف می‌گردد که پدیده چترینگ به حداقل مقدار خود بررسد. با محاسبه دقیق مقدار مشتق سرعت زاویه‌ای ماهواره و جایگذاری آن در معادلات دینامیک معکوس، گشتاور اغتشاشی با دقت بسیار مناسب نسبت به دیگر روش‌های ارائه شده استخراج می‌گردد. در این مقاله پس از توضیح مدل دینامیکی وضعیت

اغتشاشات را بر عهده دارد، زیرسامانه کنترل وضعیت ماهواره است. این زیرسامانه وظیفه دارد در مقابل انواع گشتاورهای اغتشاشی به گونه‌ای عکس العمل نشان دهد که ماهواره بتواند وضعیت خود را برای انجام مأموریت‌های تعریف شده کنترل کند. منابع اصلی گشتاورهای اغتشاشی در مدار عبارت‌اند از: گشتاورهای ائرودینامیک، گشتاورهای مغناطیسی زمین، گشتاورهای جاذبه و گشتاورهای خورشیدی [۱]. تاکنون، دو رویکرد اصلی برای مقابله با انواع گشتاورهای اغتشاشی در طراحی زیرسیستم کنترل وضعیت ارائه شده است: رویکرد نخست استفاده از تئوری‌های کنترل مقاوم در برابر انواع اغتشاشات است. این دسته با استفاده از الگوریتم‌های طراحی کنترل، اثر گشتاورهای اغتشاشی بر عملکرد سیستم را حداقل می‌نمایند [۲]. از جمله این روش‌ها می‌توان به فیلترهای تطبیقی، تئوری‌های مدل‌غذشی، H_{∞} و شبکه‌های عصبی اشاره کرد [۳]. با وجود عملکرد مطلوب رویکرد ذکر شده، امکان پیاده‌سازی آن با چالش‌های جدی در حوزه‌های اقتصادی و عملیاتی روبروست. به همین منظور و در جهت رفع چالش‌های ذکر شده، رویکرد دوم که تخمین اغتشاشات مداری است، در مراجع مطرح شده است [۴]. رویکرد دوم، برخلاف رویکرد نخست، با تخمین اغتشاشات مداری، عملکردی متناسب با مقادیر تخمینی از خود نشان می‌دهد.

در سال‌های گذشته، روش‌های متنوعی برای تخمین گشتاورهای اغتشاشی ارائه شده است. ابتدا بی‌ترین روش برای تخمین گشتاورهای اغتشاشی، استفاده از مشاهده‌گرهاي خطی است [۵]. با وجود کارآمدی این دسته از مشاهده‌گرها، استفاده از آنها محدود به سیستم‌های خطی است و در سیستم‌های غیرخطی سبب کاهش کیفیت تخمین می‌گردد [۶]. استفاده از مشاهده‌گرهاي بهینه یا همان خانواده فیلتر کالمون خطی، راهکار مؤثر دیگری بود که در عین سادگی در پیاده‌سازی، تنها برای سیستم‌های خطی، کیفیت مطلوب را فراهم می‌آورد. فیلترهای کالمون غیرخطی نیز با وجود استفاده از خطی‌سازی برای توابع غیرخطی، از مدل خطی برای انتشار متغیرهای کوواریانس خطای تخمین استفاده می‌نماید که می‌تواند دقت تخمین را کاهش دهد [۱۳]. از جمله دیگر مشاهده‌گرهاي کارآمد برای تخمین اغتشاشات، مشاهده‌گرهاي مقاوم مدل‌غذشی و H_{∞} است که با وجود کیفیت مناسب تخمین، با چالش‌هایی چون امکان پیاده‌سازی و بروز پدیده چترینگ^۵ روبرو هستند [۸]. به طور کلی

صفحه لغزش دوم براساس مشتق تابع خطأ تعريف می‌شود. در نتیجه اعمال این دو صفحه لغزش هم مقدار خطأ صفر می‌شود؛ هم مشتق خطأ. اشکال اصلی در پیاده‌سازی تئوری مدل لغزشی مرتبه دوم، بروز نوسانات با فرکانس بالا حول صفحه لغزش است که به اصطلاح به آن پدیده چترینگ گفته می‌شود و باعث کاهش دقت تخمین می‌گردد [۱۱]. الگوریتم فرایپیچشی یکی از انواع تئوری مدل‌لغزشی مرتبه دوم است که می‌تواند چالش چترینگ در پیاده‌سازی تئوری مدل‌لغزشی مرتبه دوم را برطرف سازد [۱۲]. همان‌گونه که در شکل ۲ می‌توان مشاهده کرد، مسیر حرکت سیستم با استفاده از این الگوریتم، در صفحه S و \dot{S} به صورت پیچشی به‌سمت نقطه مبدأ ادامه پیدا می‌کند.



شکل ۱. نمودار شماتیک مسیر حرکت با استفاده از الگوریتم فرایپیچش در صفحه S و \dot{S}

برای معرفی این الگوریتم، ابتدا متغیرهای دینامیکی مدل‌لغزشی برای یک سیستم به صورت معادله ۴ تعریف می‌شوند:

$$\dot{y}_1 = \varphi_{ST}(y_1, t) + \gamma_{ST}(y_1, t)u_{ST} \quad (4)$$

که در آن y_1 صفحه لغزش و مقادیر φ_{ST} و γ_{ST} توابع نامعین که با استفاده از محدوده‌هایی تعیین می‌شوند. بردار کنترل به صورت مجموع دو کنترل u_1 و u_2 تعریف می‌شود:

$$u_{ST} = u_1(t) + u_2(t) \quad (5)$$

در الگوریتم فرایپیچش بردار کنترلی u_1 و u_2 به صورت ۶ تعریف می‌شوند:

$$u_1(t) = \begin{cases} -u_{ST} & |u_{ST}| > U \\ -W \operatorname{sgn}(y_1) & |u_{ST}| < U \end{cases} \quad (6)$$

$$u_2(t) = \begin{cases} -\lambda |S_0|^p \operatorname{sgn}(y_1) & |y_1| > 0 \\ \lambda |y_1|^p \operatorname{sgn}(y_1) & |y_1| \leq 0 \end{cases}$$

که در آن U لایه مرزی مقادیر کنترلی و S_0 لایه مرزی اطراف صفحه لغزش است. براساس معادله ۴ می‌توان مشتق \dot{y}_1 را با استفاده از الگوریتم فرایپیچشی در تئوری مدل‌لغزشی مرتبه ۲

ماهواره، تئوری مدل‌لغزشی مرتبه دوم به اجمال مروع و بررسی خواهد شد. سپس چارچوب کلی تخمین گشتاورهای اغتشاشی مورد نظر تشریح و در نهایت براساس نتایج حاصل، عملکرد مناسب الگوریتم پیشنهادی توسط شبیه‌سازی پرواز یک ماهواره بررسی می‌شود.

۲. مدل دینامیکی ماهواره

در این قسمت معادلات سینماتیکی و دینامیکی وضعیت ماهواره به اجمال مروع می‌شوند. این معادلات براساس بردارهای چهارتایی یا کواترنیون‌ها استخراج می‌شوند. چهار مؤلفه کواترنیون‌ها به صورت معادلات ۱ تعریف می‌شوند:

$$\begin{aligned} q &= \begin{bmatrix} e \\ q_4 \end{bmatrix} \\ e &= [q_1 \quad q_2 \quad q_3]^T = a \sin\left(\frac{\varphi}{2}\right) \\ q_4 &= \cos\left(\frac{\varphi}{2}\right) \end{aligned} \quad (1)$$

به طوری که در این معادلات a بردار واحد محور اویلر و φ زاویه دوران می‌باشد. با استفاده از مؤلفه‌های کواترنیون فوق، معادلات سینماتیکی به صورت ۲ استخراج می‌شود:

$$\begin{aligned} \dot{q} &= \frac{1}{2} \Omega(\omega_B) q \\ \Omega(\omega_B) &= \begin{bmatrix} -\omega_B^* & \omega_B \\ -\omega_B^T & 0 \end{bmatrix} \\ \omega_B^* &= \begin{bmatrix} 0 & -\omega_{Bz} & \omega_{By} \\ \omega_{Bz} & 0 & -\omega_{Bx} \\ -\omega_{By} & \omega_{Bx} & 0 \end{bmatrix} \end{aligned} \quad (2)$$

به طوری که در این وابط $\omega_B = [\omega_{Bx} \quad \omega_{By} \quad \omega_{Bz}]^T$ بردار سرعت زاویه‌ای در دستگاه بدنی ماهواره می‌باشد. معادلات دینامیکی وضعیت ماهواره در دستگاه بدنی به صورت معادلات ۳

$$\begin{aligned} \text{بیان می‌گردد}[۵]: \\ J \dot{\omega}_B &= -\omega_B^* J \omega_B + T_c + T_{per} \end{aligned} \quad (3)$$

در این رابطه J ممان اینرسی ماهواره، T_c گشتاور کنترلی و T_{per} گشتاور اغتشاشی می‌باشد.

۳. تئوری مدل‌لغزشی مرتبه دوم (الگوریتم فرایپیچش)

در تئوری مدل‌لغزشی مرتبه دوم، دو نوع صفحه لغزش معرفی می‌شود: صفحه لغزش اول براساس تابع خطأ تعريف می‌شود و

$$\sup \left| \frac{d^2}{dt^2} \omega_B \right|_{t \leq t_0} \leq C \quad (8)$$

برای مشتقگیری از ω_B از معادله کمکی ۹ استفاده می‌شود:

$$\dot{x} = u \quad (9)$$

با فرض x, u, ω_B با زمان نمونه‌برداری اندازه گیری می‌شود. طبق الگوریتم فرآپیچش، بردار خطا به صورت معادله ۱۰ تعریف شود:

$$e(t) = x(t) - \omega_B(t) \quad (10)$$

چنانچه بردار خطا برابر صفر شود، مقدار u برابر $\dot{\omega}_B$ می‌شود [۱۱]. به منظور صفر کردن بردار خطا $(e(t))$ الگوریتم مدلغزشی مرتبه دوم با استفاده از تئوری الگوریتم فرآپیچش (معادله ۶) اعمال می‌گردد:

$$\begin{aligned} \dot{u} &= u_i - \lambda |e(t_i)|^{\frac{1}{2}} \operatorname{sgn}(e(t_i)) \\ \dot{u}_i &= -\alpha \operatorname{sgn}(e(t_i)) \end{aligned} \quad (11)$$

که در آن t_{i+1} و t_i زمان‌های متولی اندازه گیری با شرط $\dot{\omega}_B \in [t_{i+1}, t_i]$ است. مقدار $u(t)$ خروجی مشتقگیر یا همان ω_B است. نمایی شماتیک از مشتقگیر مدلغزشی مرتبه ۲ در شکل ۲ نمایش داده شده است. پارامترهای α و λ ضرایب ثابتی هستند که دقت مشتقگیری و همگرایی را تعیین می‌کنند. می‌توان ثابت کرد شرط کافی برای همگرایی $(u(t))$ به مقدار $\dot{\omega}_B$ عبارت است از [۱۰]:

$$\lambda \geq \sqrt{4C \frac{\alpha + C}{\alpha - C}}, \alpha > C \quad (12)$$

که در آن C ضریب مثبت ثابت در شرط لیشیت است. راهکار تکمیلی علاوه بر استفاده از الگوریتم فرآپیچش برای کاهش اثر پدیده چترینگ استفاده ازتابع سوییچ مناسب در معادلات ۱۱ است. استفاده ازتابع سوییچ مناسب می‌تواند اثر پدیده چترینگ را کاهش دهد. هرچه تابع سوییچ عمل سوییچینگ را نرم‌تر انجام دهد، اثر پدیده چترینگ کاهش می‌یابد. به همین جهت در معادلات ۱۱ به جای استفاده ازتابع سوییچ علامت ازتابع تائزانت هیپربولیک استفاده می‌شود. تأثیر استفاده ازتابع تائزانت استفاده از مدلغزشی مرتبه دوم برای مشتقگیری از پارامتر ω_B ، کاهش $(e(t))$ در طی زمان نمونه‌برداری است که می‌تواند دقت تخمین مشتق را بسیار بهبود بخشد. حال با جایگذاری معادلات

محاسبه کرد. به طوری که هم مقادیر خطای مشتق آن صفر شود و هم خطای چترینگ به کمترین مقدار خود برسد [۱۲].

۴. تخمین اغتشاشات مداری

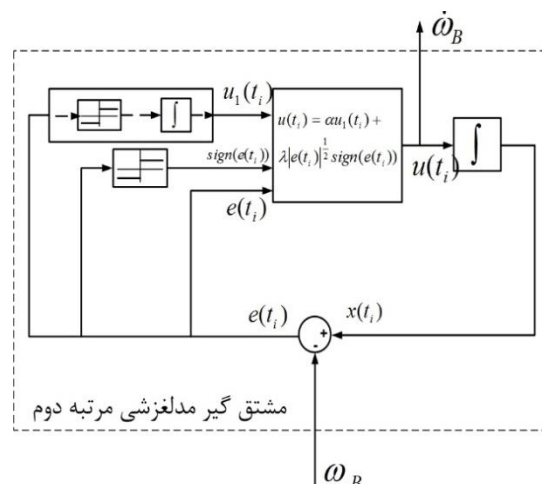
در روش پیشنهادی در این مقاله، معادلات دینامیکی به صورت معکوس حل می‌شود و داده‌های خواسته شده از حل معکوس معادلات دینامیکی به دست می‌آید. برای استفاده از این روش برای تخمین اغتشاشات مداری باید تمامی پارامترهای معادله دینامیکی (معادله ۳) مشخص باشد. با استفاده از معادله ۳ گشتاور اغتشاشی به صورت معادله ۷ استخراج می‌شود:

$$T_{per} = J \dot{\omega}_B + \omega_B^* J \omega_B - T_c \quad (7)$$

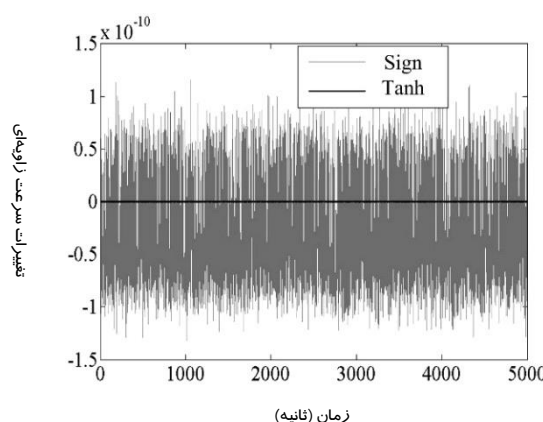
از بین پارامترهای معادله ۷، پارامتر ω_B توسط ژیرسکوب ماهواره اندازه گیری می‌شود، پارامتر J با توجه به اینکه عملگر ماهواره از جنس چرخ عکس‌العملی است، ثابت باقی می‌ماند. تنها پارامتری که محاسبه آن در محیط اغتشاشی سبب کاهش دقت تخمین گشتاور اغتشاشی می‌شود، پارامتر $\dot{\omega}_B$ است. در حسگرهای تعیین وضعیت ماهواره حسگری که بتواند $\dot{\omega}_B$ را محاسبه کند وجود ندارد. بنابراین راهکار اولیه برای محاسبه $\dot{\omega}_B$ مشتقگیری عددی از مقادیر ω_B است. مشتقگیری عددی از ω_B با وجود نویسه‌های مختلف موجود در خروجی ژیرسکوب سبب بروز خطاهاست مشتقگیری در محاسبه گشتاور اغتشاشی می‌گردد. به منظور برطرف ساختن خطاهاست مشتقگیری دو راهکار اصلی وجود دارد: راهکار اول طراحی مشاهده‌گر بدنه‌خواهی که پارامتر $\dot{\omega}_B$ از معادلات حذف گردد که با توجه به فرضیاتی که برای طراحی این نوع مشاهده‌گر وجود دارد کیفیت تخمین مقاوم می‌باشد [۱۵]. راهکار دوم استفاده از تئوری مشتقگیری مقاوم می‌باشد، در این روش برخلاف راهکار قبلی، از حذف پارامتر مشتق صرف نظر و سعی می‌شود تا مشتقگیری به گونه‌ای انجام پذیرد که اثر اغتشاشات در آن به حداقل مقدار خود برسد. تئوری مدلغزشی یکی از مؤثرترین روش‌های مقاوم در برابر انواع اغتشاشات و نامعینی‌هاست. در این روش تأثیر اغتشاشات در صورتی که سیستم بتواند روی صفحه لغزش قرار بگیرد، می‌تواند کاملاً حذف گردد. مشتقگیری مقاوم از ω_B با استفاده از تئوری مدلغزشی نخستین بار توسط لوانت معرفی شد [۱۵]. این روش براساس الگوریتم مدلغزشی مرتبه دوم برای سیگنال‌های که شرط لیشیت برای مشتق آن برقرار باشد، قابل استفاده است:

به صورت معادلات ۱۳ به دست آورد.

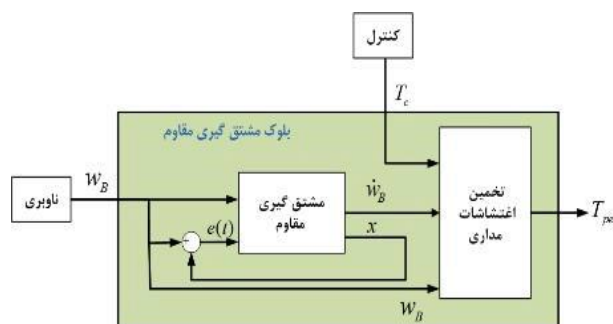
۱۱ و ۱۲ در معادله ۷ می‌توان معادلات گشتاور اغتشاشی را



شکل ۲. سازو کار عملکرد مشتق گیر مدلگزشی مرتبه دوم



شکل ۳. مقایسه استفاده از دو تابع سینوس و تانژانت هیپربولیک برای استفاده در مشتق گیر مرتبه دوم



شکل ۴. بلوک تخمین مقاوم اغتشاشات مداری

بلوک دیاگرام روش پیشنهادی برای تخمین گشتارهای اغتشاشی به صورت شکل ۴ است. به منظور بررسی پایداری مشتق گیر پیشنهادی، تابع لیپانوف ۱۴ پیشنهاد می‌شود:

$$V = e\dot{e} + 0.5 [\tilde{\alpha}, \tilde{\lambda}] \Gamma [\tilde{\alpha}, \tilde{\lambda}]^T \quad (14)$$

$$\tilde{\alpha} = \alpha - \hat{\alpha} \quad (15)$$

$$\tilde{\lambda} = \lambda - \hat{\lambda}$$

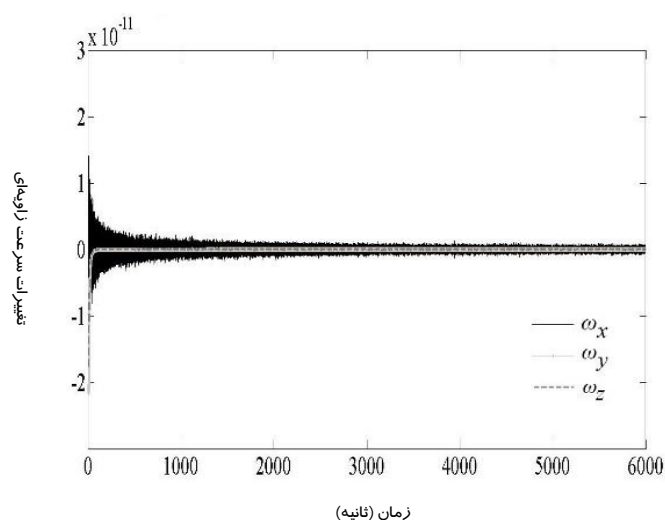
$$T_{per} = J\dot{\omega}_B + \omega_B^* J\omega_B - T_c$$

$$\begin{aligned} \dot{\omega}_B &= u_1 - \lambda |e(t_i)|^{1/2} \tanh(e(t_i)) \\ \dot{u}_1 &= -\alpha \tanh(e(t_i)) \end{aligned} \quad (13)$$

$$\lambda \geq \sqrt{4C \frac{\alpha + C}{\alpha - C}} \quad \alpha > C$$

در ارتفاع مداری ۸۰۰ کیلومتر قرار دارد که محدوده گشتاور اغتشاشات آن ${}^5 \times 10^{-10}$ می‌باشد. سیستم ناوبری شبیه‌سازی مورد نظر شامل حسگرهای ناوبری اینرسی، حسگر ستاره‌یاب و فیلتر کالمن توسعه‌یافته برای تلفیق داده‌های ناوبری می‌باشد. زمان نمونه‌برداری در این شبیه‌سازی برابر ${}^0 \times 10^4$ ثانیه در نظر گرفته شده است. بهمنظور پیاده‌سازی بلوک تخمین مقاوم اغتشاشات مداری نخست لازم است ثابت لیشیتزر استخراج شود.

با توجه به معادله ۸ که بیان شرط لیشیتزر می‌باشد، و با توجه به نمودار ۵ که تغییرات $\dot{\omega}_B$ را نشان می‌دهد مقدار ثابت لیشیتزر بهدست می‌آید. محاسبه ثابت لیشیتزر باید با داشتن قابلی از تغییرات سرعت زاویه‌ای در نظر گرفته شود. با توجه به تغییرات آهسته سرعت زاویه‌ای ماهواره در فضا، مقدار تقریبی تغییرات سرعت زاویه تقریباً صفر است. با این حال، در این مقاله برای افزایش دقت تخمین مشتق ضریب C با استفاده از روش مونت کارلو برای ${}^0 \times 10^4$ اجرای شبیه‌سازی برابر با ${}^0 \times 10^4$ به عنوان مناسب‌ترین مشاهده‌گر برای به معرفی مشاهده‌گر NDO ارائه می‌شود. به عنوان مناسب‌ترین مشاهده‌گر برای تخمین اغتشاشات مداری در مراجع [۵]، نتایج تخمین با استفاده از روش مقاوم مدل‌گذاری مرتبه دوم و مشاهده‌گرهای غیرخطی NDO ارائه می‌شود. بهمنظور مقایسه و بررسی بهتر، نتایج تخمین در دو حالت حضور نویفه‌های اندازه‌گیری و عدم حضور نویفه‌های اندازه‌گیری بررسی می‌شوند.



شکل ۵. نمودار مشتق سرعت زاویه‌ای

مشخص است، دقت تخمین در هر دو روش تقریباً کیفیت یکسانی دارند. در این حالت نیز کیفیت تخمین با استفاده از بلوک

$$\begin{aligned} e(t) &= x(t) - \omega_B(t) \\ \dot{e} &= \dot{x}(t) - \hat{\alpha} u_1 - \hat{\lambda} |e|^{\frac{1}{2}} \operatorname{sgn}(e) - k e \\ &= \tilde{\alpha} u_1 + \hat{\lambda} |e|^{\frac{1}{2}} \operatorname{sgn}(e) - k e + (\dot{\omega}_B(t) - \alpha u_1) \\ &\quad - |e|^{\frac{1}{2}} \operatorname{sgn}(e) \lambda \end{aligned}$$

۱۲ ماتریس مثبت معین می‌باشد. با انتخاب ۱ تابع لیپاونوف پیشنهادی می‌توان نوشت:

$$\dot{V} = e \dot{e} + [\tilde{\alpha}, \tilde{\lambda}] \Gamma \frac{d[\tilde{\alpha}, \tilde{\lambda}]}{dt}^T \quad (16)$$

با جایگذاری معادله ۱۵ در معادله ۱۶ و در نظر گرفتن شرط ۱۲ نتیجه زیر بهدست می‌آید:

$$\begin{aligned} \dot{V} &= e \dot{e} + [\tilde{\alpha}, \tilde{\lambda}] \Gamma \frac{d[\tilde{\alpha}, \tilde{\lambda}]}{dt}^T \\ &\leq -(\alpha - C) |e|^2 - (\lambda) |e|^{\frac{3}{2}} \leq 0 \end{aligned} \quad (17)$$

در نتیجه با استفاده از معادله ۱۷ و تابع لیپاونوف پیشنهادی ۱۴ پایداری روش ارائه شده اثبات می‌شود.

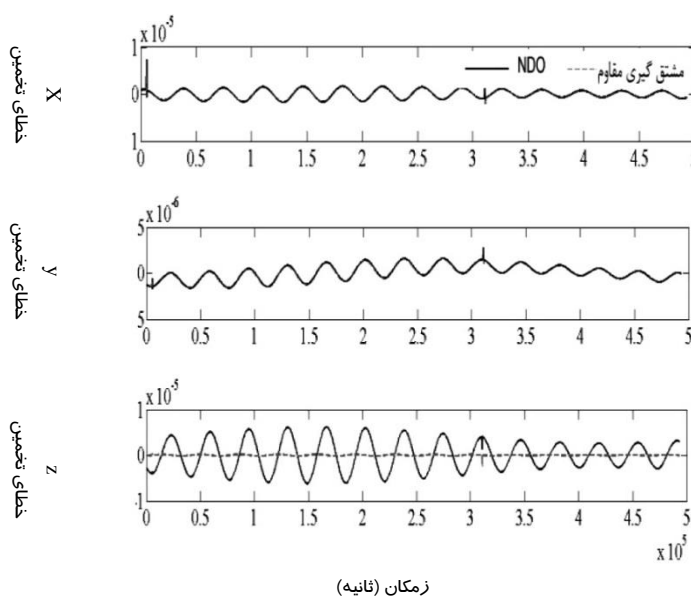
۵. نتایج و شبیه‌سازی

زیرسیستم تخمین مقاوم گشتاورهای اغتشاشی برای پرواز یک ماهواره در محیط نرمافزار متلب/سیمولینک^۷ پیاده سازی شده است. دوره تناوب پرواز ماهواره در مدار 5300 ثانیه می‌باشد، شبیه‌سازی پیاده شده برای یک دوره تناوب مداری است. ماهواره

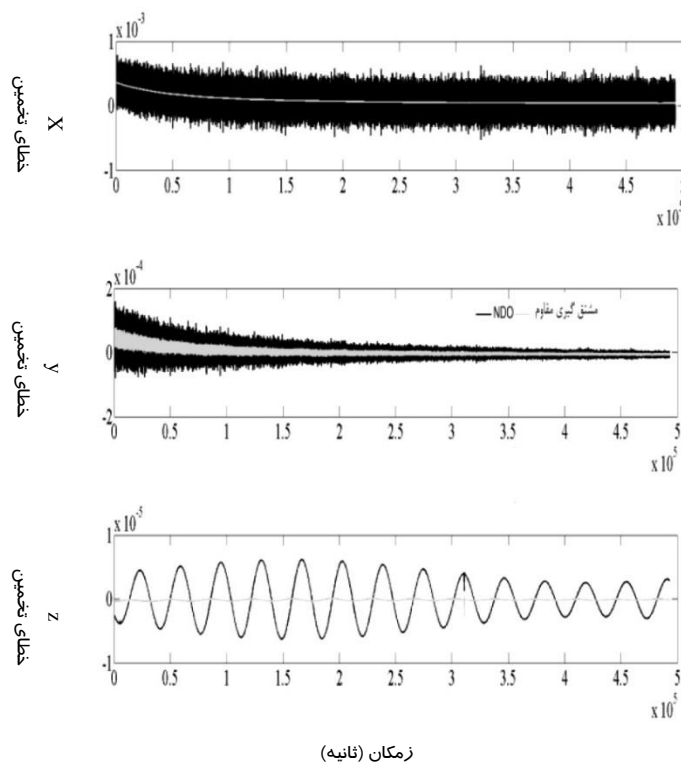
نتایج تخمین اغتشاشات مداری در حالت عدم حضور نویفه‌های اندازه‌گیری مطابق نمودار ۶ است. همانه که در این نمودار

مرحله بعد، کیفیت تخمین گشتاورهای اغتشاشی در حالت حضور نویزهای اندازه‌گیری انجام می‌شود. در شکل ۷ نتایج تخمین اغتشاشات مداری در حضور نویزهای اندازه‌گیری نمایش داده شده است.

تخمین مقاوم از مشاهده‌گر NDO بهتر می‌باشد. این موضوع را می‌توان این‌گونه توضیح داد که چون مقدار $\dot{\omega}_B$ کوچک است، شرایط اولیه در بلوك تخمین مقاوم که براساس ضرایب تعیین شده در شرط لیشیت تعریف شده است، تأثیر مقدار $\dot{\omega}_B$ را در ابتدای تخمین کاهش می‌دهد و باعث بهبود کیفیت تخمین می‌شود. در



شکل ۶. خطای تخمین اغتشاشات مداری در حالت عدم حضور نویزهای اندازه‌گیری



شکل ۷. خطای تخمین اغتشاشات مداری در حالت حضور نویزهای اندازه‌گیری

۶. نتیجه‌گیری

در این مقاله روشی جدید برای تخمین برخط اغتشاشات مداری معرفی شد. در این روش با استفاده از الگوریتم فرایپیچش و همچنین تئوری مدلگذشتگی مرتبه دوم، امکان تخمین گشتوارهای اغتشاشی در حضور نویسه های اندازه‌گیری فراهم آمد. روش پیشنهادی برای تخمین گشتوارهای اغتشاشی هم کیفیت تخمین را بهبود می‌بخشد، هم می‌تواند در حضور مقادیر متفاوت از نویسه های اندازه‌گیری تخمین مناسبی را فراهم آورد. آنچه سبب تمایز این روش با دیگر روش ها می‌شود، امکان تخمین با کیفیت مناسب در حضور نویسه های اندازه‌گیری است. به طوری که چنانچه نویسه های اندازه‌گیری از مقادیر گشتوارهای اغتشاشی بیشتر باشد، این روش پیشنهادی می‌تواند تخمینی مناسب از گشتوارهای اغتشاشی فراهم آورد. مقایسه نتایج این روش با مشاهده‌گر غیرخطی NDO که به عنوان مناسب ترین ابزار برای تخمین اغتشاشات مداری شناخته شده است، نشان از دقت بالای این الگوریتم در تخمین اغتشاشات مداری دارد.

همان‌طور که از نمودار ۷ مشخص است، در حضور نویسه های اندازه‌گیری، خروجی مشاهده‌گر NDO تحت تأثیر نویسه های اندازه‌گیری قرار دارد، به نحوی که اگر مقدار نویسه اندازه‌گیری از اندازه اغتشاشات مداری بیشتر شود، گشتوارهای اغتشاشی تخمین زده شده اهمیت چندانی ندارند. دلیل این موضوع را می‌توان در عدم وجود پارامتر مقاوم در تخمین دانست. برخلاف مشاهده‌گر NDO، بلوک تخمین مقاوم می‌تواند در حضور نویسه های اندازه‌گیری کیفیت مناسب از اغتشاشات مداری ارائه کند. با وجود کیفیت مناسب روش پیشنهادی، مشاهده‌گر NDO از منظر هزینه محاسباتی و ساختار برنامه‌ریزی نسبت به روش پیشنهادی در شرایط بهتری قرار دارد. این مسئله را می‌توان با مقایسه زمان اجرای فرایند تخمین گشتوارهای اغتشاشی همان‌طور که در جدول ۱ بررسی نمود.

جدول ۱. زمان اجرای فرایند تخمین اغتشاشات

الگوریتم	زمان اجرا (ثانیه)
NDO	۲۲۵/۵۷۵۳
مشتق‌گیر مدلگذشتگی مرتبه ۲	۲۳۶/۹۷۴۹

۷. مأخذ

- [1] J. R. Wertz, D. F. Everett, J. J. Puschell, *Space mission engineering: the new SMAD*. Space technology library, Vol. 28, 2011.
- [2] J. George, J. L. Crassidis, Sensitivity Analysis of Disturbance Accommodating Control with Kalman Filter Estimation, *In Proceedings of the AIAA Guidance, Navigation and Control Conference and Exhibit*, 2007.
- [3] I. D. Landau, M. Alma, A. Constantinescu, J. J. Martinez, M. Noë, Adaptive regulation-rejection of unknown multiple narrow band disturbances (a review on algorithms and applications), *Control Engineering Practice* ,Vol. 19, pp. 1168-1181, 2011.
- [4] D. Hyland, L. Davis, A. Das, G. Yen, Autonomous neural control for structure vibration suppression, *In AIAA Guidance, Navigation and Control Conference*, Paper No. AIAA-96-3923, 1996.
- [5] S. Ulrich, J. Côté, J. D. Lafontaine, In-flight attitude perturbation estimation for earth-orbiting spacecraft, *The Journal of the Astronautical Sciences*, Vol. 57, No. 3, pp. 633-665, 2009.
- [6] C. Y. Kim, S. M. Yoon, M. C. Lee, B. H. Kang, A study on state and perturbation observers of the controller of surgical robot instrument, *In Control Conference (ASCC)*, pp. 553-557, 2011.
- [7] S. J. Kwon, Robust Kalman Filtering with Perturbation Estimation Process-for Uncertain Systems, *Journal of Institute of Control, Robotics and Systems*, Vol. 12, No. 3, pp. 201-207, 2006.
- [8] Y. Li, Q. Xu, Adaptive sliding mode control with perturbation estimation and PID sliding surface for motion tracking of a piezo-driven micromanipulator, *IEEE Transactions on Control Systems Technology*, Vol. 18, No. 4, pp. 798-810, 2010.

- [9] C. S. Liu, H. Peng, Disturbance observer based tracking control, *Journal of Dynamic Systems, Measurement, and Control*, Vol. 122, No. 2, pp. 332-335, 2000.
- [10] J. Yang, S. Li, C. Sun, L. Guo, Nonlinear disturbance-observer-based robust flight control for airbreathing hypersonic vehicles, *IEEE Transactions on Aerospace and Electronic Systems*, Vol. 49, No. 2, pp. 1263-1275, 2013.
- [11] G. Bartolini, A. Pisano, E. Punta, E. Usai, A survey of applications of second-order sliding mode control to mechanical systems, *International Journal of Control*, Vol. 76, No. 9-10, pp. 875-892, 2003.
- [12] W. B. Lin, H. K. Chiang, Super-twisting algorithm second-order sliding mode control for a synchronous reluctance motor speed drive, *Mathematical Problems in Engineering*, 2013.
- [13] T. Kobayashi, D. L. Simon, J. S. Litt, Application of a constant gain extended Kalman filter for in-flight estimation of aircraft engine performance parameters, In *ASME Turbo Expo 2005: Power for Land, Sea, and Air*, pp. 617-628, 2005.
- [14] W. H. Chen, D. J. Ballance, P. J. Gawthrop, J. O'Reilly, A nonlinear disturbance observer for robotic manipulators, *IEEE Transactions on Industrial Electronics*, Vol. 47, No. 4, pp. 932-938, 2000.
- [15] A. Levant, Robust exact differentiation via sliding mode technique, *Automatica*, Vol. 34, No. 3, pp. 379-384, 1998.

پی نوشت

-
1. dynamic inversion
 2. second-order sliding mode
 3. chattering
 4. nonlinear disturbance observer
 5. super-twisting algorithm
 6. Lipchitz
 7. MATLAB/Simulink